

05

(C) 1992

## НЕРАВНОВЕСНЫЙ ФАЗОВЫЙ ПЕРЕХОД В ОБЪЕМЕ КРИСТАЛЛОВ КАРБИДА КРЕМНИЯ

Й. П е ц о л ь д т, Д.Р. М о с к в и н а

Ионная имплантация является эффективным методом для локализованной модификации химического состава и кристаллической структуры полупроводника. Известно, что в исходном полупроводнике с помощью ионной имплантации можно сформировать области другого химического соединения, например,  $\text{SiC}$  и  $\text{Si}$  [1], или индуцировать фазовые переходы типа  $3\text{C}-\text{Si}$  (кубическая модификация кремния)  $\rightarrow$   $2\text{H}-\text{Si}$  (гексагональная модификация кремния) [2]. Такие фазовые переходы в полупроводниках с одной устойчивой структурой требуют для протекания значительных внешних воздействий.

Кроме того, существует класс полупроводниковых веществ, которым присуща структурная неустойчивость по отношению к различным физическим воздействиям [3]. Эти свойства являются следствием малых различий свободных энергий отдельных структурных модификаций, что приводит к их термодинамической неразличимости по отношению к факторам, определяющим термодинамическое равновесие. Характерными представителями данного класса полупроводниковых веществ являются полупроводники, обладающие политипизмом.

В случае карбида кремния показано, что отдельные политипные структуры станут термодинамически различимыми при синтезе и модификации их свойств в неравновесных условиях. При этом протекают неравновесные политипные фазовые переходы, приводящие к закономерной смене одной политипной структуры на другую. Эти переходы протекают в соответствии с характерными для данного процесса политипными рядами взаимных политипных переходов и зависят от интенсивности внешнего воздействия [4, 5]. На основе неравновесных политипных фазовых переходов удалось создать гетерополитипную композицию  $3\text{C}-\text{SiC} - 6\text{H}-\text{SiC}$  при рекристаллизации аморфизированного ионной имплантацией приповерхностного слоя  $\text{SiC}$  [6].

Цель настоящей работы состоит в доказательстве возможности протекания неравновесных политипных фазовых переходов в объеме политипов карбида кремния в результате рекристаллизации ионно-имплантированных слоев  $\text{SiC}$ .

Для этого эпитаксиальные слои  $\text{SiC}$  политипной структуры  $4\text{H}-\text{SiC}$  и  $6\text{H}-\text{SiC}$  имплантировались азотом дозами, не приводящими к аморфизации поверхности имплантированных кристаллов. Соответствующие дозы и ускоряющие напряжения определялись по критерию:

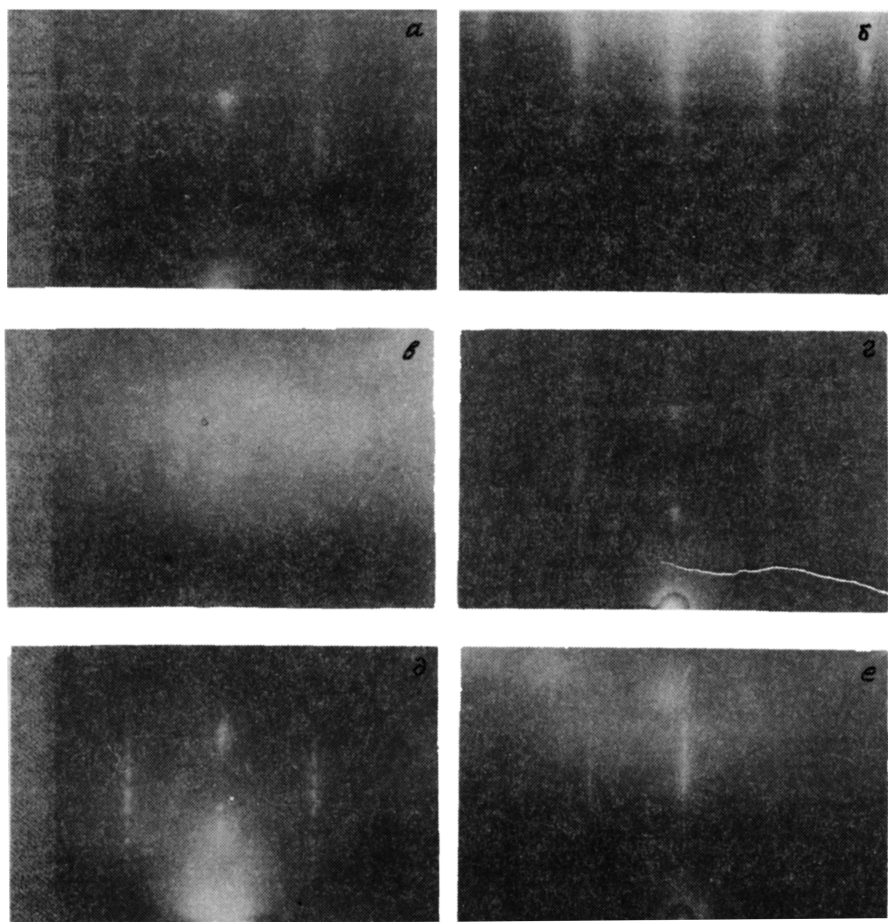


Рис. 1. Электронограммы, иллюстрирующие политипную принадлежность на разных глубинах травления без отжига (а, в, д) и при 2000 °С (б, г, е): а, б - 6Н-*SiC* на поверхности образца, в - аморфный *SiC* на глубине 30 нм, г - 3С-*SiC* на глубине 30 нм, д, е - 6Н-*SiC* на глубине 160 нм.

$$F_D(x) \cdot D = A,$$

где  $F_D(x)$  – энергия, выделяемая в упругих соударениях, определенная по [7],  $D$  – доза аморфизации,  $A$  – постоянная, равная для *SiC*  $2 \cdot 10^{24}$  эВ см<sup>-3</sup> [8].

После ионной имплантации кристаллы *SiC* подвергались термическому отжигу в температурном интервале, обеспечивающем появление 3С-*SiC* и полностью аморфизированных ионной имплантацией приповерхностных слоях подложек 6Н-*SiC* [6]. Отожженные

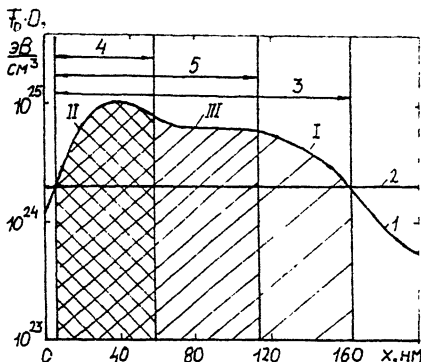


Рис. 2. Корреляция между распределением „действий”  $D$  и областями 3С- $\text{SiC}$  при двойной имплантации азотом дозами  $3 \cdot 10^{15} \text{ см}^{-2}$  и ускоряющими напряжениями 30 и 80 кэВ: 1 – распределение „действий”, 2 – критерий аморфизации А, 3 – аморфованная область (I), 4 – область 3С- $\text{SiC}$  при отжиге  $1600^\circ\text{C}$  (II), 5 – область 3С- $\text{SiC}$  при отжиге  $2000^\circ\text{C}$ . (III).

кристаллы исследовались послойно с помощью электронографии на отражение. Прецизионное удаление карбидокремниевых слоев осуществлялось путем анодного окисления по методике, разработанной в [9]. В результате проведенного исследования установлено, что термический отжиг приводит к образованию сплошного слоя 3С- $\text{SiC}$  без включения других политипов в объеме эпитаксиальных слоев 4Н- и 6Н- $\text{SiC}$  в областях, предварительно аморфизованных ионной имплантацией.

Электронограммы, снятые непосредственно с поверхности кристалла, свидетельствуют о том, что в результате ионной имплантации не произошла аморфизация поверхности кристаллов 4Н- и 6Н- $\text{SiC}$ , а после отжига не наблюдается образование 3С- $\text{SiC}$  (рис. 1, а, б). Это следует из наличия дифракционных точек на дифракционных картинах (рис. 1, а, б), которые соответствуют политипу подложки (в данном случае 6Н- $\text{SiC}$ ). На глубинах, где после ионной имплантации наблюдается аморфизация 3С- $\text{SiC}$  (рис. 1, в), что следует из присутствия двух диффузных полуколец на электронограммах на отражения, в результате термического отжига образуется сплошной слой 3С- $\text{SiC}$  (рис. 1, г). 3С- $\text{SiC}$ , который образовался в результате термического отжига, представляет собой слой с высокой концентрацией двойников роста, которые возникают в результате взаимодействия двух эквивалентных (111)-ориентаций. В этом случае одна ориентация повернута на  $180^\circ$  относительно другой. Кроме того, наличие интерференционных линий по направлениям эквивалентных направлений  $[h0l]$  для дифракционных картин от кристаллов  $\alpha$ - $\text{SiC}$  свидетельствует о наличии дефектов упаковки в плоскостях (111), параллельных плоскостям (0001)  $\alpha$ - $\text{SiC}$ . Взаимная ориентация слоя 3С- $\text{SiC}$  и политипов эпи-

таксиальных слоев 4Н- и 6Н-  $\text{SiC}$  является  $(0001)_{4\text{H}}//(111)_{3\text{H}}$  и  $(0001)_{6\text{H}}//(111)_{3\text{H}}$  соответственно. В областях, не аморфизованных ионной имплантацией и в части аморфизованной области, прилегающей к ним, сохраняется политип эпилитаксиального слоя (рис. 1, д, е). Приведенные дифракционные картины являются характерными для всей площади подложки.

На рис. 2 приводится расположение областей 3С- $\text{SiC}$  по глубине образца и его корреляция с распределением „дефектов”, рассчитанным на основе данных [7]. Из рис. 2 видно, что области 3С- $\text{SiC}$  локализуются в пределе максимума распределения „дефектов”. Кроме того, можно сделать вывод о том, что при рекристаллизации ионноимплантированных слоев вначале воспроизводится политипная структура подложки, которая затем в результате неравновесного политипного фазового перехода пепревращается в 3С- $\text{SiC}$ . Выяснение причин такого перехода требует дальнейшего исследования.

Доказательство возможности образования в объеме эпитаксиальных слоев 4Н- и 6Н- $\text{SiC}$  слоев 3С- $\text{SiC}$  в результате протекания неравновесного политипного фазового перехода, индуцируемого ионной имплантацией и термическим отжигом, открывает новые возможности для создания локальных многослойных гетерополитипных структур с помощью вариации ускоряющего напряжения и дозы имплантированной примеси. Данный метод создания многослойных гетерополитипных структур является дополняющим к методам, основанным на неравновесных политипных фазовых переходах при эпитаксии карбидокремниевых слоев [4].

#### Список литературы

- [1] Durupt P., Canut B., Roger J.A., Pivat J., Gauthier J.P. // Thin Solid Films. 1982. V. 90. N 3. P. 353-357.
- [2] Тан Т.Т., Фолл Н. // Phil. Mag. 1981. V. A44. N 1. P. 127-140.
- [3] Kalinin A.A., Neubert F., Rezoldt J., Tairov Yu.M., Jarjomenco I.E. // Wiss. Tag. TU Chemnitz. 1987. Bd. 11. S. 52-62.
- [4] Кальянин А.А., Лучинин В.В., Нойберг Ф., Тайров Ю.М. // ЖТФ. 1984. Т. 54. В. 7. С. 1388-1390.
- [5] Пецольдт Й. // Изв. ЛЭТИ. 1988. В. 395. С. 12-17.
- [6] Виолин Э.Е., Демаков А.Д., Кальнин А.А., Нойберг Ф., Потапов Е.Н., Тайров Ю.М. // ФТГ. 1984. Т. 26. В. 5. С. 1575-1577.

- [7] Буренков А.Ф., Комаров Ф.Ф. Пространственные распределения энергии, выделенной в каскаде атомных столкновений в твердых телах. М.: Энергоатомиздат. 1985. 273 с.
- [8] Spitznagel J.A., Wood S., Choukue W.J., Doyle N.J., Bradshaw J., Fishman S.G. // Nucl. Instr. Meth. Phys. Res. V.D26. N 2-3. P. 237-243.
- [9] Виолин Э.К., Миц А.Н., Яременко И.Е. // Изв. ЛЭТИ. 1987. В. 380. С. 25-30.

Поступило в Редакцию  
22 июля 1992 г.